

Seminário de Mecânica Quântica Aplicada

Teoria de Perturbação (Estados Degenerados): caixa potencial bidimensional e oscilador harmônico bidimensional

Victor Porto

Agosto/2022

Instituto de Física de São Carlos - Universidade de São Paulo

1. Caixa Potencial

1.1. Revisitando o caso 1D

1.2. Soluções para o caso 2D (sem perturbação)

1.3. Aplicando uma perturbação $V = V_0xy$ para o caso 2D

2. Oscilador Harmônico

2.1. Revisitando o caso 1D

2.2. Soluções para o caso 2D (sem perturbação)

2.3. Aplicando uma perturbação $V = V_0xy$ para o caso 2D

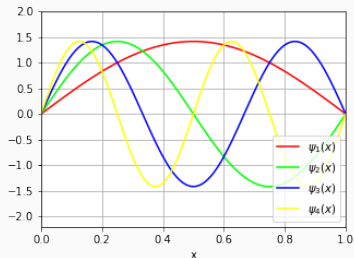
3. Discussão e Conclusão

1. Caixa Potencial

1.1 Caixa Potencial - Revisitando o caso 1D

- eq. de Schrödinger ind. do tempo:

$$\left[-\frac{\hbar^2}{2m} \frac{d^2}{dx^2} + V(x) \right] \psi(x) = E\psi(x)$$



$$V(x) = \begin{cases} 0, & 0 < x < L \\ \infty, & x \leq 0 \text{ ou } x \geq L \end{cases}$$

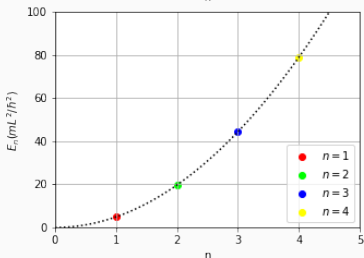
- autofunções:

$$\psi_n(x) = \sqrt{\frac{2}{L}} \sin\left(\frac{n\pi}{L}x\right)$$

- energias associadas às autofunções:

$$E_n = \frac{\pi^2 \hbar^2}{2mL^2} n^2$$

$$n = 1, 2, 3, \dots$$



1.2 Caixa Potencial - Soluções para o caso 2D

- eq. de Schrödinger ind. do tempo:

$$\left[-\frac{\hbar^2}{2m} \left(\frac{d^2}{dx^2} + \frac{d^2}{dy^2} \right) + V(x, y) \right] \psi(x, y) = E\psi(x, y)$$

$$V(x) = \begin{cases} 0, & 0 < x < L_x \text{ e } 0 < y < L_y \\ \infty, & x \leq 0 \text{ ou } x \geq L_x \\ \infty, & y \leq 0 \text{ ou } y \geq L_y \end{cases}$$

- autofunções:

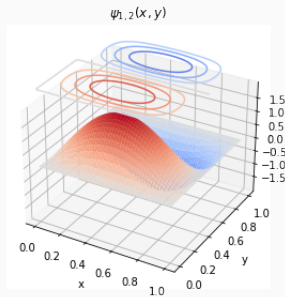
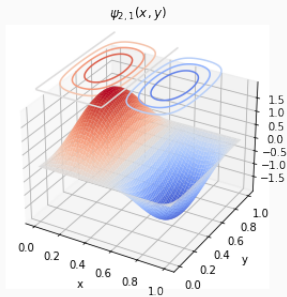
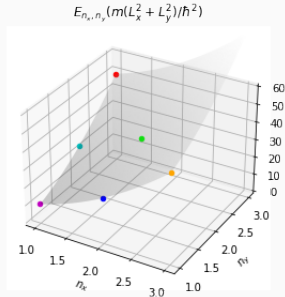
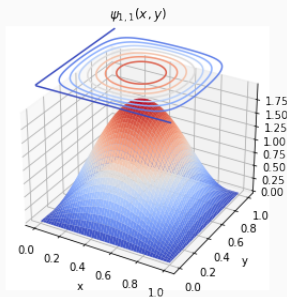
$$\psi_n(x) = \frac{2}{\sqrt{L_x L_y}} \operatorname{sen} \left(\frac{n_x \pi}{L_x} x \right) \operatorname{sen} \left(\frac{n_y \pi}{L_y} y \right)$$

- energias associadas às autofunções:

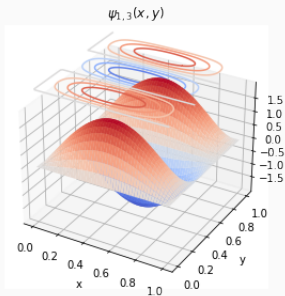
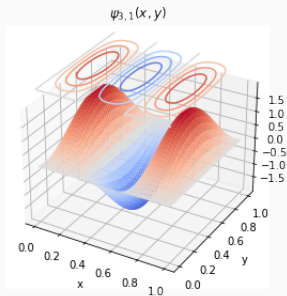
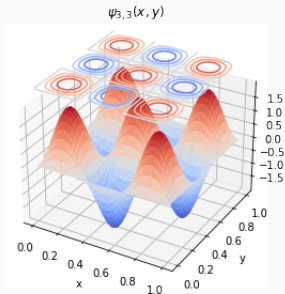
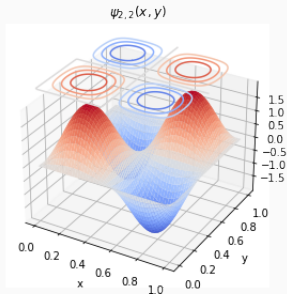
$$E_{n_x, n_y} = \frac{\pi^2 \hbar^2}{2m} \left(\frac{n_x^2}{L_x^2} + \frac{n_y^2}{L_y^2} \right)$$

$$n_x = 1, 2, 3, \dots; \quad n_y = 1, 2, 3, \dots$$

1.2 Caixa Potencial - Soluções para o caso 2D



1.2 Caixa Potencial - Soluções para o caso 2D



1.3 Caixa Potencial - Aplicando uma perturbação para o caso 2D

perturbação $V = V_0 xy$

- estado fundamental é não-degenerado: $(n_x, n_y) = (1, 1)$

correção em 1ª ordem...

$$\begin{aligned} E_{1,1}^{(1)} &= \langle \psi_{1,1} | V | \psi_{1,1} \rangle \\ &= V_0 \langle \psi_{1,1} | xy | \psi_{1,1} \rangle \\ &= V_0 \frac{4}{L_x L_y} \int_0^{L_x} \sin^2 \left(\frac{\pi}{L_x} x \right) x dx \int_0^{L_y} \sin^2 \left(\frac{\pi}{L_y} y \right) y dy \\ &= V_0 \frac{4}{L_x L_y} \left(\frac{L_x^2}{4} \right) \left(\frac{L_y^2}{4} \right) \\ &= \boxed{\frac{L_x L_y}{4} V_0} \end{aligned}$$

1.3 Caixa Potencial - Aplicando uma perturbação para o caso 2D

- primeiro estado excitado é degenerado: $(n_x, n_y) = (2, 1)$ e $(n_x, n_y) = (1, 2)$

$$|\varphi_1^{(0)}\rangle = c_1^1 |\psi_{2,1}^{(0)}\rangle + c_1^2 |\psi_{1,2}^{(0)}\rangle = \sum_{i=1}^2 c_1^i |\alpha_i^{(0)}\rangle$$

correção em 1ª ordem...

$$\begin{aligned}\hat{H}^0 |\varphi_j^{(1)}\rangle + \hat{V} |\varphi_j^{(0)}\rangle &= E_j^{(0)} |\varphi_j^{(1)}\rangle + E_j^{(1)} |\varphi_j^{(0)}\rangle \\ \cancel{E_j^{(0)} \langle \alpha_k^{(0)} | \varphi_j^{(1)} \rangle} + \langle \alpha_k^{(0)} | \hat{V} | \varphi_j^{(0)} \rangle &= \cancel{E_j^{(0)} \langle \alpha_k^{(0)} | \varphi_j^{(1)} \rangle} + E_j^{(1)} \langle \alpha_k^{(0)} | \varphi_j^{(0)} \rangle \\ \sum_{i=1}^n c_j^i \langle \alpha_k^{(0)} | \hat{V} | \alpha_i^{(0)} \rangle &= \sum_{i=1}^n c_j^i E_j^{(1)} \langle \alpha_k^{(0)} | \alpha_i^{(0)} \rangle \\ \sum_{i=1}^n c_j^i \langle \alpha_k^{(0)} | \hat{V} | \alpha_i^{(0)} \rangle &= c_j^k E_j^{(1)} \\ \sum_{i=1}^n V_{ki} c_j^i &= E_j^{(1)} c_j^k \\ \mathbf{V} \vec{c}_j &= E_j^{(1)} \vec{c}_j\end{aligned}$$

1.3 Caixa Potencial - Aplicando uma perturbação para o caso 2D

$$\mathbf{V} = \begin{pmatrix} V_{11} & V_{12} \\ V_{12}^* & V_{22} \end{pmatrix}$$

$$\begin{aligned} V_{11} &= V_0 \langle \alpha_1^{(0)} | xy | \alpha_1^{(0)} \rangle \\ &= V_0 \langle \psi_{2,1}^{(0)} | xy | \psi_{2,1}^{(0)} \rangle \\ &= V_0 \frac{4}{L_x L_y} \int_0^{L_x} \sin^2 \left(\frac{2\pi}{L_x} x \right) x dx \int_0^{L_y} \sin^2 \left(\frac{\pi}{L_y} y \right) y dy \\ &= \frac{L_x L_y}{4} V_0 \end{aligned}$$

$$\begin{aligned} V_{22} &= V_0 \langle \alpha_2^{(0)} | xy | \alpha_2^{(0)} \rangle \\ &= V_0 \langle \psi_{1,2}^{(0)} | xy | \psi_{1,2}^{(0)} \rangle \\ &= V_0 \frac{4}{L_x L_y} \int_0^{L_x} \sin^2 \left(\frac{\pi}{L_x} x \right) x dx \int_0^{L_y} \sin^2 \left(\frac{2\pi}{L_y} y \right) y dy \\ &= \frac{L_x L_y}{4} V_0 \end{aligned}$$

1.3 Caixa Potencial - Aplicando uma perturbação para o caso 2D

$$\begin{aligned} V_{12} &= V_0 \left\langle \psi_{2,1}^{(0)} \right| xy \left| \psi_{1,2}^{(0)} \right\rangle \\ &= V_0 \frac{4}{L_x L_y} \int_0^{L_x} \sin\left(\frac{2\pi}{L_x} x\right) \sin\left(\frac{\pi}{L_x} x\right) x dx \int_0^{L_y} \sin\left(\frac{\pi}{L_y} y\right) \sin\left(\frac{2\pi}{L_y} y\right) y dy \\ &= V_0 \frac{4}{L_x L_y} \left(-\frac{8L_x^2}{9\pi^2}\right) \left(-\frac{8L_y^2}{9\pi^2}\right) \\ &= 4 \left(\frac{8}{9\pi^2}\right)^2 L_x L_y V_0 \end{aligned}$$

$$\begin{vmatrix} V_{11} - \lambda & V_{12} \\ V_{12} & V_{22} - \lambda \end{vmatrix} = 0$$

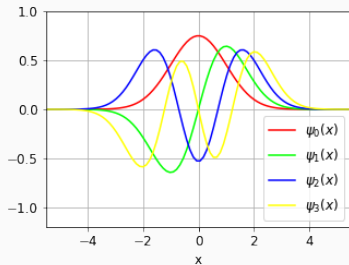
$$E_1^{(1)} = \lambda = \left[\frac{1}{4} \pm 4 \left(\frac{8}{9\pi^2} \right)^2 \right] L_x L_y V_0$$

2. Oscilador Harmônico

2.1. Oscilador Harmônico - Revisitando o caso 1D

- eq. de Schrödinger ind. do tempo:

$$\left(-\frac{\hbar^2}{2m} \frac{d^2}{dx^2} + \frac{1}{2} m \omega^2 x^2\right) \psi(x) = E \psi(x)$$



- autofunções:

$$\psi_n(x) = \left(\frac{m\omega}{\pi\hbar}\right)^{1/4} \frac{1}{\sqrt{2^n n!}} \times H_n\left(\sqrt{\frac{m\omega}{\hbar}}x\right) \exp\left(-\frac{m\omega}{2\hbar}x^2\right)$$

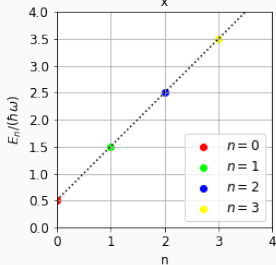
em que

$$H_n(z) = (-1)^n e^{z^2} \frac{d^n}{dz^n} e^{-z^2}$$

são os polinômios de Hermite

- energias associadas às autofunções:

$$E_n = \left(n + \frac{1}{2}\right) \hbar \omega$$



2.2 Oscilador Harmônico - Soluções para o caso 2D

- eq. de Schrödinger ind. do tempo:

$$\left[-\frac{\hbar^2}{2m} \left(\frac{d^2}{dx^2} + \frac{d^2}{dy^2} \right) + \frac{1}{2} m \omega^2 (x^2 + y^2) \right] \psi(x, y) = E \psi(x, y)$$

- autofunções:

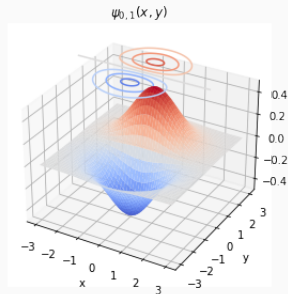
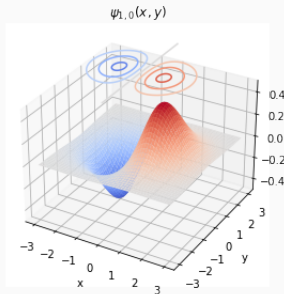
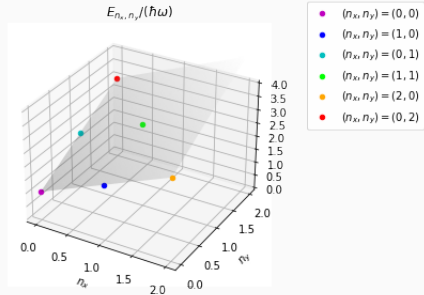
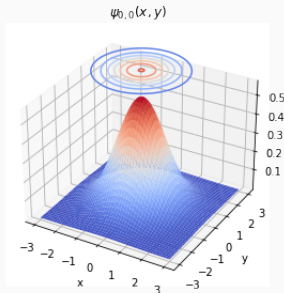
$$\begin{aligned} \psi_{n_x, n_y}(x, y) = & \sqrt{\frac{m\omega}{\pi\hbar}} \frac{1}{\sqrt{2^{(n_x+n_y)} n_x! n_y!}} \\ & \times H_{n_x} \left(\sqrt{\frac{m\omega}{\hbar}} x \right) H_{n_y} \left(\sqrt{\frac{m\omega}{\hbar}} y \right) \\ & \times \exp \left[-\frac{m\omega}{2\hbar} (x^2 + y^2) \right] \end{aligned}$$

- energias associadas às autofunções:

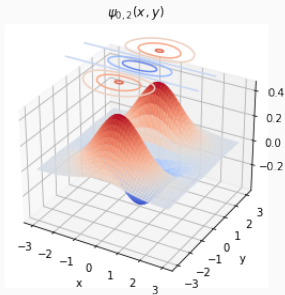
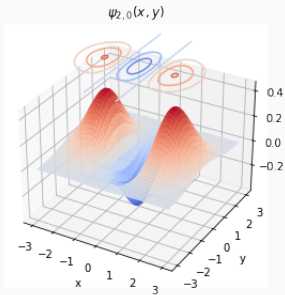
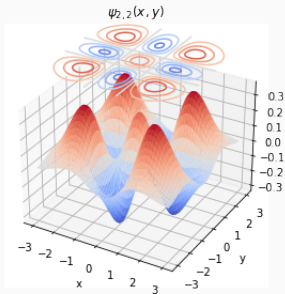
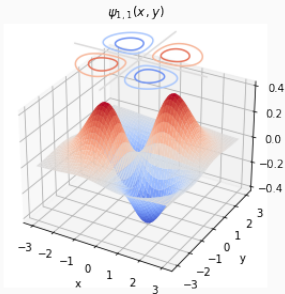
$$\begin{aligned} E_{n_x, n_y} &= \left(n_x + \frac{1}{2} \right) \hbar\omega + \left(n_y + \frac{1}{2} \right) \hbar\omega \\ &= \boxed{(n_x + n_y + 1) \hbar\omega} \end{aligned}$$

$$n_x = 0, 1, 2, \dots; \quad n_y = 0, 1, 2, \dots$$

2.2 Oscilador Harmônico - Soluções para o caso 2D



2.2 Oscilador Harmônico - Soluções para o caso 2D



2.3 Oscilador Harmônico - Aplicando uma perturbação para o caso 2D

perturbação $V = V_0 xy$

- estado fundamental é não-degenerado: $(n_x, n_y) = (0, 0)$

correção em 1ª ordem...

$$\begin{aligned} E_{0,0}^{(1)} &= \langle \psi_{0,0} | V | \psi_{0,0} \rangle \\ &= V_0 \langle \psi_{0,0} | xy | \psi_{0,0} \rangle \\ &= V_0 \sqrt{\frac{m\omega}{\pi\hbar}} \int_{-\infty}^{\infty} \exp\left(-\frac{m\omega}{\hbar}x^2\right) x dx \int_{-\infty}^{\infty} \exp\left(-\frac{m\omega}{\hbar}y^2\right) y dy \\ &= \boxed{0} \end{aligned}$$

2.3 Oscilador Harmônico - Aplicando uma perturbação para o caso 2D

- primeiro estado excitado é degenerado: $(n_x, n_y) = (1, 0)$ e $(n_x, n_y) = (0, 1)$

$$|\varphi_1^{(0)}\rangle = c_1^1 |\psi_{1,0}^{(0)}\rangle + c_1^2 |\psi_{0,1}^{(0)}\rangle = \sum_{i=1}^2 c_1^i |\alpha_i^{(0)}\rangle$$

correção em 1ª ordem...

$$\mathbf{V}\vec{c}_j = E_j^{(1)}\vec{c}_j$$

$$\begin{aligned} V_{11} &= V_0 \langle \psi_{1,0}^{(0)} | xy | \psi_{1,0}^{(0)} \rangle \\ &= V_0 \dots \int_{-\infty}^{\infty} \exp\left(-\frac{m\omega}{\hbar}y^2\right) y dy \\ &= 0 \end{aligned}$$

$$\begin{aligned} V_{22} &= V_0 \langle \psi_{0,1}^{(0)} | xy | \psi_{0,1}^{(0)} \rangle \\ &= V_0 \dots \int_{-\infty}^{\infty} \exp\left(-\frac{m\omega}{\hbar}x^2\right) x dx \\ &= 0 \end{aligned}$$

2.3 Oscilador Harmônico - Aplicando uma perturbação para o caso 2D

$$\begin{aligned} V_{12} &= V_0 \left\langle \psi_{1,0}^{(0)} \left| xy \right| \psi_{0,1}^{(0)} \right\rangle \\ &= 2V_0 \frac{m^2 \omega^2}{\pi \hbar^2} \int_{-\infty}^{\infty} \exp\left(-\frac{m\omega}{\hbar} x^2\right) x^2 dx \int_{-\infty}^{\infty} \exp\left(-\frac{m\omega}{\hbar} y^2\right) y^2 dy \\ &= 2V_0 \frac{m^2 \omega^2}{\pi \hbar^2} \left[\frac{\sqrt{\pi}}{2} \left(\frac{\hbar}{m\omega}\right)^{3/2} \right] \left[\frac{\sqrt{\pi}}{2} \left(\frac{\hbar}{m\omega}\right)^{3/2} \right] \\ &= \frac{\hbar}{2m\omega} V_0 \end{aligned}$$

$$\begin{vmatrix} -\lambda & V_{12} \\ V_{12} & -\lambda \end{vmatrix} = 0$$

$$E_1^{(1)} = \lambda = \pm \frac{\hbar}{2m\omega} V_0$$

3. Discussão e Conclusão

3. Discussão e Conclusão

p/ estado fundamental:

$$E_{1,1}^{(1)} = \frac{L_x L_y}{4} V_0 \text{ (caixa)}$$

$$E_{0,0}^{(1)} = 0 \text{ (OHQ)}$$

p/ primeiro estado excitado:

$$E_1^{(1)} = \left[\frac{1}{4} \pm 4 \left(\frac{8}{9\pi^2} \right)^2 \right] L_x L_y V_0 \text{ (caixa)}$$

$$E_1^{(1)} = \pm \frac{\hbar}{2m\omega} V_0 \text{ (OHQ)}$$

- Apesar de a perturbação ter sido a mesma ($V = V_0 xy$) em ambos problemas, as correções de 1ª ordem para a energia difeririam tanto para o estado fundamental (não-degenerado) quando para o primeiro estado excitado (degenerado), o que já era esperado

- jupyter notebook:

github.com/victorportog/tarefas/blob/main/220808_MQA_seminario.ipynb

Obrigado pela atenção! :)